

СТАТИЧЕСКИЙ АНАЛИЗ НДС ЖЕЛЕЗОБЕТОННОЙ ПЛИТЫ С УЧЕТОМ ЕЕ ФИЗИЧЕСКОЙ И ГЕОМЕТРИЧЕСКОЙ НЕЛИНЕЙНОСТИ НА УПРУГОМ ОСНОВАНИИ

СЕМЕНЮК С. Д., КУМАШОВ Р. В.

Белорусско-Российский университет
Могилев, Беларусь

В современных автомобильных дорогах все большее значение приобретают монолитные и сборные железобетонные покрытия, предназначенные для автомобильного движения большой интенсивности, скорости и грузоподъемности. Неравномерные деформации основания, возникающие при возведении и эксплуатации плит дорожного покрытия в сложных грунтовых условиях, следует считать одним из основных факторов, влияющих на их несущую способность, деформативность и долговечность. При эксплуатации дорог передача нагрузки на плиту дорожного покрытия от колес автомобиля всегда будет вне оси симметрии конструкции, а также не исключена вероятность образования выбоин, воронок и других дефектов под основанием плиты, поэтому в ней будут проявляться изгибающие и крутящие моменты, а также поперечная сила. В общем случае плиты работают на поперечный изгиб с кручением, в частности на поперечный изгиб. Поэтому требуется учитывать влияние каждого из этих воздействий на несущую способность железобетонных плитных конструкций при их проектировании, изготовлении и эксплуатации.

Алгоритм статического расчета плиты на упругом основании. Расчёт плит выполняется численно-аналитически способом Жемочкина [1] (общая постановка задачи и ее аналитическое решение), с использованием метода Ритца (определение прогибов плиты в основной системе) и применением математического пакета «MathCad».

Данный подход позволяет рассчитывать плиты на произвольном линейно-упругом деформируемом основании любой формы в плане

и загруженные произвольной нормальной к срединной плоскости плиты внешней нагрузкой [2].

Исходными данными для расчета являются:

– размеры плиты, прочностные и деформативные характеристики бетона и арматуры, площадь армирования и расположение арматурных стержней;

– модуль деформации и коэффициент Пуассона грунта основания.

Плиты разбиваются на прямоугольные участки Жемочкина (рисунк 1). В середине каждого участка ставится связь, через которую осуществляется контакт плиты с упругим основанием, а в центре плиты вводится защемление. Принимается, что усилие в каждой связи вызывает равномерное распределение реактивных давлений в пределах участка Жемочкина [3].

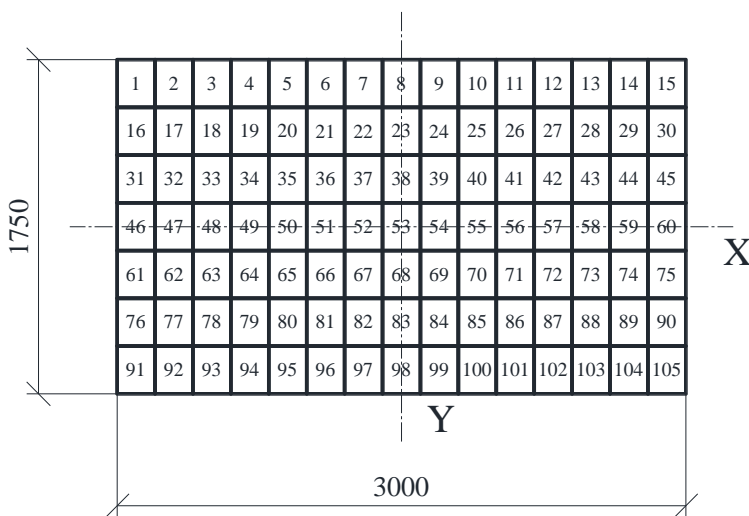


Рис. 1. Пример разбивки плиты на участки Жемочкина

В свою очередь каждый участок рассматривается как совокупность элементарных площадок, в пределах которых деформации считаются равномерно распределенными, а по высоте сечения элемента связанные гипотезой плоских сечений [4].

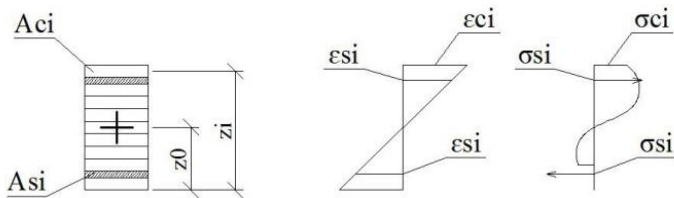


Рис. 2. Расчетное поперечное сечение плиты и распределение деформаций и напряжений

До появления трещин железобетонные конструкции могут рассматриваться как изотропные линейно-упругие либо нелинейно-упругие. После образования трещин жесткость плиты становится переменной величиной и зависит от координат рассматриваемой точки.

Положим, что после образования трещин бетон плиты в отношении своих упругих свойств обладает тремя осями симметрии, т.е. является ортотропным материалом.

В соответствии с ТКП EN 1992-1-1 [5] определяем начальный модуль деформации бетона при напряжении $0,4f_{cm}$ из следующей зависимости:

$$\frac{\sigma_c}{f_{cm}} = \frac{k\eta - \eta^2}{1 + (k-2) \cdot \eta};$$

$$\frac{\sigma_{ct}}{f_{ctm}} = \frac{k_t\eta_t - \eta_t^2}{1 + (k_t-2) \cdot \eta_t},$$
(1)

где $\eta = \frac{\varepsilon_c}{\varepsilon_{c1}}; \eta_t = \frac{\varepsilon_{ct}}{\varepsilon_{ct1}};$

$\varepsilon_{c1}, \varepsilon_{ct1}$ – относительная деформация при максимальном значении напряжения при сжатии и растяжении;

$$k = 1,05E_{cm} \cdot \frac{|\varepsilon_{c1}|}{f_{cm}}; \quad k_t = 1,05E_{cm} \cdot \frac{|\varepsilon_{ct1}|}{f_{ctm}}.$$

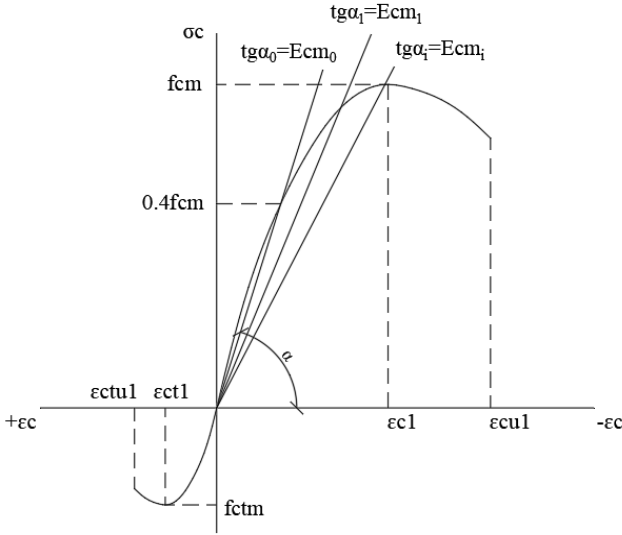


Рис. 3. График зависимости «напряжение-относительная деформация» для бетона

Жесткости плиты определим из следующих зависимостей:

$$\begin{aligned}
 D11 &= \sum_{i=1}^n Eсm_i \cdot B_{1,1} \cdot h_i \cdot zсx_i^2 + \sum_{j=1}^2 Es_j \cdot \frac{Asx_j}{a} \cdot zsx_i^2; \\
 D12 &= \sum_{i=1}^n Eсm_i \cdot B_{1,2} \cdot h_i \cdot zсy_i^2 + \sum_{j=1}^2 Es_j \cdot \frac{Asy_j}{b} \cdot zsy_i^2; \\
 D21 &= \sum_{i=1}^n Eсm_i \cdot B_{2,1} \cdot h_i \cdot zсx_i^2 + \sum_{j=1}^2 Es_j \cdot \frac{Asx_j}{a} \cdot zsx_i^2; \\
 D22 &= \sum_{i=1}^n Eсm_i \cdot B_{2,2} \cdot h_i \cdot zсy_i^2 + \sum_{j=1}^2 Es_j \cdot \frac{Asy_j}{b} \cdot zsy_i^2; \\
 D33 &= \sum_{i=1}^n Eсm_i \cdot B_{3,3} \cdot h_i \cdot zсx_i^2,
 \end{aligned} \tag{2}$$

где $zсx_i$, $zсy_i$, zsx_i , zsy_i – положение нейтральной линии для бетона и арматуры в двух направлениях;

Asx_j , Asy_j – верхнее и нижнее армирование плиты в двух направлениях;

$$[B] = \begin{bmatrix} -\frac{1}{\nu^2 - 1} & \frac{\nu}{\nu^2 - 1} & 0 \\ \frac{\nu}{\nu^2 - 1} & -\frac{1}{\nu^2 - 1} & 0 \\ 0 & 0 & \frac{1}{2 \cdot (1 + \nu)} \end{bmatrix} \quad - \quad \text{технические постоянные}$$

упругости материала плиты

Прогибы нейтральной поверхности плиты будем искать в виде:

$$W(x, y) = \left[\left(\frac{x}{b} \right)^2 + \left(\frac{y}{a} \right)^2 \right] \times \left[C00 + C01 \cdot \frac{x}{b} + C10 \cdot \frac{y}{a} + C11 \cdot \frac{x \cdot y}{b \cdot a} \right], \quad (3)$$

где $C00, C01, C10, C11$ – неопределённые коэффициенты;
 a, b – некоторый линейный размер плиты.

Для определения коэффициентов используем метод Ритца. Составляем функционал полной энергии плиты с защемленной нормалью и действующей силой $P(u, t)$:

$$\begin{aligned} \mathcal{E} = & \frac{1}{2} \int_{-a}^a \int_{-b}^b \left[D11 \cdot \left(\frac{\partial^2 W(x, y)}{\partial x^2} \right)^2 + D22 \cdot \left(\frac{\partial^2 W(x, y)}{\partial y^2} \right)^2 + (D12 + D21) \times \right. \\ & \left. \times \frac{\partial^2 W(x, y)}{\partial x^2} \cdot \frac{\partial^2 W(x, y)}{\partial y^2} - 2D33 \cdot \frac{\partial^2 W(x, y)}{\partial x \partial y} \right] dx dy - P \cdot W(u, t) \end{aligned} \quad (4)$$

Ввиду линейности решаемой задачи этот функционал будет квадратичной функцией коэффициентов $C00, C01, C10, C11$. Из условия минимума функционала (4) составляется система линейных алгебраических уравнений относительно коэффициентов $C00, C01, C10, C11$ в виде

$$\left. \begin{aligned} \frac{\partial \mathcal{E}}{\partial C00} &= 0 \\ \frac{\partial \mathcal{E}}{\partial C01} &= 0 \\ \frac{\partial \mathcal{E}}{\partial C10} &= 0 \\ \frac{\partial \mathcal{E}}{\partial C11} &= 0 \end{aligned} \right\}. \quad (5)$$

В результате решения данной системы получаем выражения для коэффициентов $C00$, $C01$, $C10$, $C11$

$$\begin{aligned}
 C00 &= \frac{Pa^3bu^2 + Pab^3t^2}{16D11a^4 + 16D22b^4 + 16D12a^2b^2 + 16D21a^2b^2}; \\
 C01 &= \frac{3Pa^3u^3 + 3Pab^2ut^2}{144D11a^4 + 16D22b^4 + 48D12a^2b^2 + 48D21a^2b^2 - 32D33a^2b^2}; \\
 C10 &= \frac{3Pa^3bu^2t + 3Pb^3t^3}{16D11a^4 + 144D22b^4 + 48D12a^2b^2 + 48D21a^2b^2 - 32D33a^2b^2}; \\
 C11 &= \frac{5Pa^2u^3t + 5Pb^2ut^3}{80D11a^4 + 80D22b^4 + 80D12a^2b^2 + 80D21a^2b^2 - 224D33a^2b^2}.
 \end{aligned} \tag{6}$$

При определении перемещений точки $M(x, y)$, находящейся на поверхности упругого однородного изотропного полупространства от действия единичной силы, распределенной по площади участка Ω поверхности полупространства, необходимо вычислить интеграл

$$W_m(x, y) = \frac{1 - \nu_0^2}{\pi E_0} \frac{1}{\Omega} \iint_{\Omega} \frac{d\xi d\eta}{\sqrt{(x - \xi)^2 + (y - \eta)^2}}, \tag{7}$$

где Ω – площадь участка Жемочкина.

Перемещение точки $M(x, y)$ поверхности упругого полупространства при загрузении участка прямоугольной формы на этой поверхности равномерно распределенной нагрузкой с равнодействующей, равной 1, интеграл (7) после вычисления имеет вид

$$\begin{aligned}
 W_M(x, y) &= \frac{1 - \nu_0^2}{\pi E_0 \Delta_x} \left[\frac{y - d}{\Delta_y} \ln \frac{x - b + \sqrt{(x - b)^2 + (y - d)^2}}{x - a + \sqrt{(x - a)^2 + (y - d)^2}} + \right. \\
 &\quad \left. + \frac{y - c}{\Delta_y} \ln \frac{x - a + \sqrt{(x - a)^2 + (y - c)^2}}{x - b + \sqrt{(x - b)^2 + (y - c)^2}} + \right. \\
 &\quad \left. + \frac{x - b}{\Delta_y} \ln \frac{y - d + \sqrt{(x - b)^2 + (y - d)^2}}{y - c + \sqrt{(x - b)^2 + (y - c)^2}} + \frac{x - a}{\Delta_y} \ln \frac{y - c + \sqrt{(x - a)^2 + (y - c)^2}}{y - d + \sqrt{(x - a)^2 + (y - d)^2}} \right], \\
 \Delta_x &= b - a, \quad \Delta_y = d - c,
 \end{aligned} \tag{8}$$

где a, b, c, d – координаты границ участка Жемочкина [4].

При определении коэффициентов канонических уравнений способа Жемочкина для расчета прямоугольной плиты на произвольном упругом основании можно написать

$$\delta_{ik} = \frac{(P=1)(1-\nu_0^2)}{\pi E_0 b} (F_{ik}^0 + F_{ik}^1) + \frac{(P=1)b^2}{D} \left[A_{22} \left(\frac{x^2}{b^2} - \frac{y^2}{b^2} \right) + 2B_{22} \frac{xy}{b^2} + \dots \right], \quad (9)$$

где F_{ik}^0 – безразмерная функция для определения перемещений точки i на поверхности упругого основания от действия единичной силы, равномерно распределённой по прямоугольному участку k поверхности полупространства. Определяется выражением (8);

F_{ik}^1 – корректирует F_{ik}^0 применительно к рассматриваемой модели упругого основания.

Система канонически уравнений способа Жемочкина имеет вид:

$$\left\{ \begin{array}{l} \sum_{i=1}^n \left(\sum_{k=1}^n \delta_{ik} R_k + \varphi_{0x} y_i + \varphi_{0y} x_i + u_0 + \Delta_{ip} = 0 \right); \\ - \sum_{k=1}^n R_k y_k + M_{px} = 0; \\ - \sum_{k=1}^n R_k x_k + M_{py} = 0; \\ - \sum_{k=1}^n R_k + Q = 0, \end{array} \right. \quad (10)$$

где $u_0, \varphi_{0x}, \varphi_{0y}$ – линейные и угловые перемещения введённого защемления на плите;

Q, M_{px}, M_{py} – равнодействующая внешних сил, действующих на плиту, и ее моменты относительно координатных осей;

R_k – реактивные усилия.

После решения системы канонических уравнений (10) по найденным значениям реактивных усилий находятся реактивное давление под плитой и распределение осадок S_k .

Кривизна нейтральной поверхности плиты в двух взаимно перпендикулярных направлениях, а также относительное кручение поверхности будут равны

$$\frac{1}{r_x} = -\frac{\partial^2 w}{\partial x^2}; \quad \frac{1}{r_y} = -\frac{\partial^2 w}{\partial y^2}; \quad \frac{1}{r_{xy}} = \frac{\partial^2 w}{\partial x \partial y}. \quad (11)$$

С учетом конечных разностей можно записать

$$\begin{aligned} \frac{1}{r_x} &= -\frac{S_{i+1,j} - 2S_{i,j} + S_{i-1,j}}{\Delta x^2}; \quad \frac{1}{r_y} = -\frac{S_{i,j+1} - 2S_{i,j} + S_{i,j-1}}{\Delta y^2}; \\ \frac{1}{r_{xy}} &= (S_{i+1,j+1} - S_{i+1,j-1} - S_{i-1,j+1} + S_{i-1,j-1}) \cdot \frac{1}{4\Delta x \Delta y}; \\ & i = 2..m - 1; \quad j = 2..n - 1. \end{aligned} \quad (12)$$

Относительные деформации слоя, отстоящего от нейтральной поверхности на расстоянии z_i будут равны

$$\varepsilon_{xi} = \frac{(z_0 - z_i)}{r_x}; \quad \varepsilon_{yi} = \frac{(z_0 - z_i)}{r_y}; \quad \varepsilon_{xyi} = \frac{(z_0 - z_i)}{r_{xy}}. \quad (13)$$

Далее по диаграммам деформирования с учетом найденных относительных деформаций находим секущие модули деформации и, с учетом закона Гука, напряжения в элементарном слое.

$$\begin{aligned} \sigma_{xi} &= \frac{E_i}{1-\nu^2} (\varepsilon_{xi} + \nu \varepsilon_{yi}); \quad \sigma_{yi} = \frac{E_i}{1-\nu^2} (\varepsilon_{yi} + \nu \varepsilon_{xi}); \\ \tau_{xyi} &= 2G \varepsilon_{xyi} = \frac{E_i}{1-\nu} \varepsilon_{xyi}. \end{aligned} \quad (14)$$

Если напряжения растяжения в бетоне элементарной площадки превышают предельные значения, это свидетельствует об образовании трещины в этой площадке. В дальнейших расчетах осевая жесткость этой элементарной площадки принимается равной нулю.

Найденные секущие модули деформаций вводятся в расчет в новом расчетном цикле. Критерием окончания процесса последовательных приближений является сравнение осадок плиты на смежных этапах.

Экспериментальные исследования. С целью подтверждения методики статического расчета и определения реального распределения осадок упругого основания под плитой были проведены полевые испытания дорожной плиты 2ПП30.18-30.

До проведения испытания на площадке были выполнены инженерно-геологические изыскания: статическое зондирование и штамповые испытания. По результатам штамповых испытаний модуль деформации верхнего слоя грунта составил $E = 22,1$ МПа. Результаты статического зондирования грунтов приведены на рисунке 3. По результатам статического зондирования для каждого грунта в соответствии с таблицей 6.7 [6] определен модуль деформации грунта (Таблица 1).

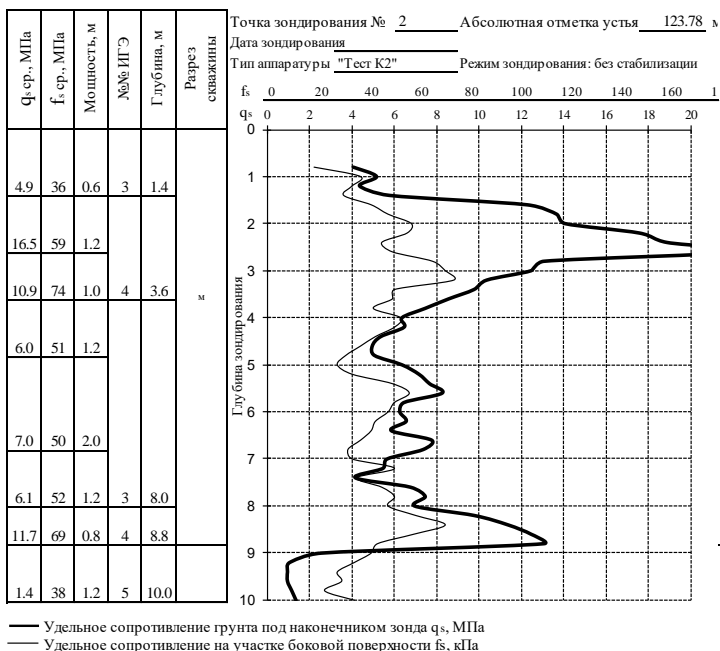


Рис. 3 – Результаты статического зондирования на площадке проведения испытаний

Характеристики грунтов

Номер слоя	Тип грунта	Мощность слоя, м	q_s МПа	E_0 МПа	ν
1	Песок мелкий	0,8	0,5	4,0	0,3
2		0,6	4,9	19,8	
3		1,2	16,5	44,4	
4		1,0	10,9	32,7	
5		1,2	6,0	22,0	
6		2,0	7,0	24,0	
7		1,2	6,1	22,2	
8		0,8	11,7	35,0	

Испытание плиты производились для следующих схем:

а – одно колесо на плите. Последовательно в 4 точках (в центре плиты, на краях плиты и в углу плиты, см. рисунок 4а) производится испытание одним домкратом на нагрузку 100 кН;

б – два колеса на плите. Производится испытание одновременно двумя домкратами в середине плиты (рис. 4б) на нагрузку 100 кН каждый, следующее испытание – на краю плиты (рис. 4в) на нагрузку 100 кН каждый.

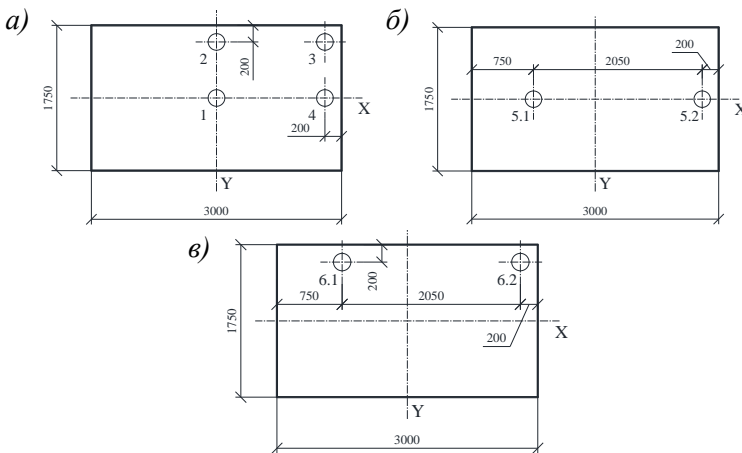


Рис. 4. Схемы расположения домкратов при испытаниях:
а – загрузка 1-4; б – загрузка 5; в – загрузка 6

Измерение перемещений производилось 9 прогибомерами с точностью 0.01 мм. Точки их закрепления приведены на рис. 5.

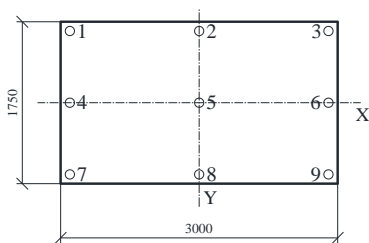


Рис. 5. Схема расположения прогибомеров 6 ПАО с ценой деления 0.01

Испытание производилось в каждой из 6 точек последовательным приложением нагрузки ступенями до максимальной величины, равной 100 кН. В процессе испытания замерялись только вертикальные перемещения.

Численное исследование эксперимента. После проведения испытаний по методике, изложенной выше, выполнены численные исследования. Расчет производился на максимальную нагрузку в каждом загрузении при двух вариантах характеристик грунта основания:

1 – модуль деформации грунта основания определен по результатам статического зондирования. При этом в расчет принимались три верхних слоя грунта. Эквивалентный модуль деформации определялся в соответствии с ТКП 45-5.01-67-2007 [7] по формуле

$$E = \frac{\sum_{i=1}^n A_i}{\sum_{i=1}^n \frac{A_i}{E_i}}; \quad (15)$$

где A_i – площадь эпюры вертикальных напряжений от единичного давления под подошвой фундамента в пределах i -го слоя грунта;

E_i – модуль деформации i -го слоя грунта;

n – число слоев.

Эквивалентный модуль деформации грунта основания для первых трех слоев составил $E = 4,65$ МПа;

2 – модуль деформации грунта основания принят по результатам штамповых испытаний и составил $E = 22,1$ МПа.

Результаты экспериментальных и численных исследований приведены на рис. 6 (осадки даны по осям плиты).

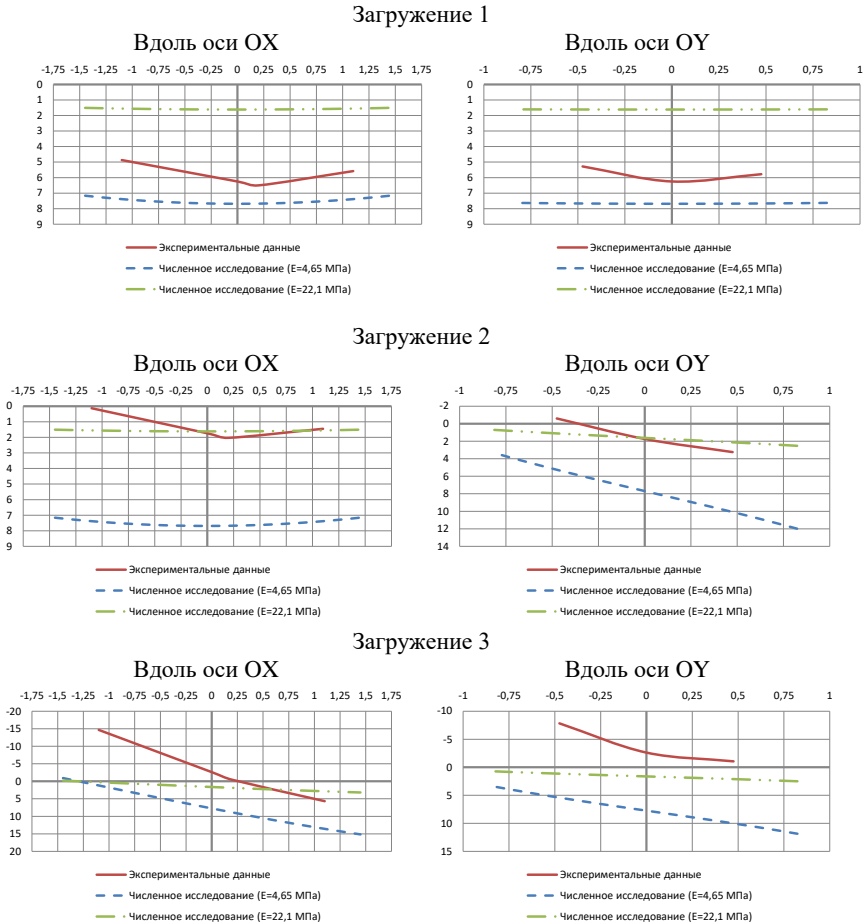
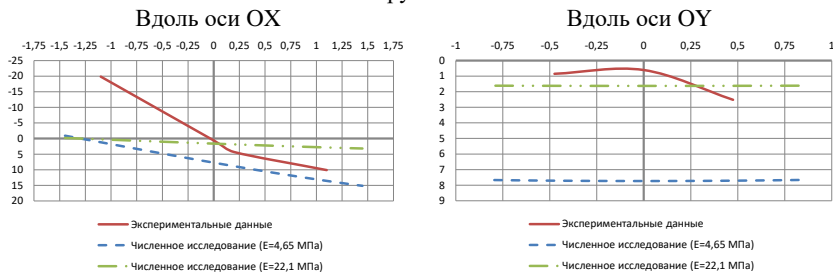
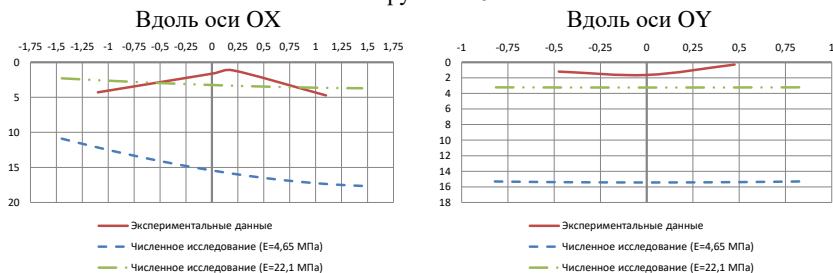


Рис. 6 – Распределение осадок плиты (начало)

Загрузка 4



Загрузка 5



Загрузка 6

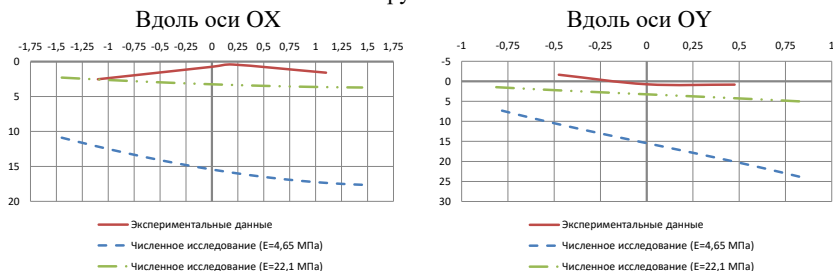


Рис. 6. Распределение осадок плиты (окончание)

Заключение. Численные и экспериментальные исследования показывают, что в условиях эксплуатации плиты покрытия автодорог всегда будут подвержены сложному деформированию, так как нагрузки от колес автомобиля прикладываются вне оси симметрии плиты и дорожное основание под плиты неоднородно как по длине плиты, так и по ширине.

По результатам сравнения экспериментальных и численных исследований можно отметить, что при модуле деформации грунта, принятом по результатам статического зондирования, распределе-

ние осадок более соответствует экспериментальным данным. Однако, значения осадок при этом довольно сильно завышены. При модуле деформации, принятом по результатам штамповых испытаний, значения осадок наиболее близко к результатам эксперимента, но, распределение осадок под плитой не соответствует данным эксперимента. В дальнейшем, при оценке точности принятой методики статического расчета следует принимать результаты численного исследования, выполненного по данным статического зондирования, т.к. при определении усилий в сечениях плиты наибольшее значение имеет распределение осадок, а не их величина.

СПИСОК ИСПОЛЬЗОВАННОЙ ЛИТЕРАТУРЫ

1. Семенюк С.Д. Железобетонные пространственные фундаменты жилых и гражданских зданий на неравномерно деформированном основании: монография/ С.Д. Семенюк. – Могилев: Белорус.-Рос. ун-т, 2003. – 269 с.
2. Жемочкин Б.Н. Практические методы расчета фундаментных балок и плит на упругом основании / Б.Н. Жемочкин, А.П. Синицын. – М.: Госстройиздат, 1962. – 240 с.
3. Босаков С.В. Статические расчеты плит на упругом основании/ С.В. Босаков. – Минск: БНТУ, 2002. – 128 с.
4. Пособие П1-98 к СНиП 2.03.01-84* Усиление железобетонных конструкций – Минск; Минстройархитектуры, 1998. – 189 с.
5. ТКП EN 1992-1-1-2009 (02250). Еврокод 2. Проектирование железобетонных конструкций. Часть 1-1. Общие правила и правила для зданий. – Минск, 2015. – 165 с.
6. ТКП 45-5.01-15-2005 (02250). Прочностные и деформационные характеристики грунтов по данным статического зондирования и пенетрационного каротажа. Правила определения. – Минск, 2006. – 21 с.
7. ТКП 45-5.01-67-2007 (02250). Фундаменты плитные. Правила проектирования. – Минск, 2018. – 94 с.
8. ТКП 45-3.03-244-2011 (02250). Автомобильные дороги. Дорожные одежды жесткого типа. Строительные нормы проектирования. – Минск, 2012. – 60с.
9. Гобунов-Посадов М.И. Расчет конструкций на упругом основании / М.И. Гобунов-Посадов, Т.А. Маликова // Изд. 2-е, перераб. и доп. – М., Стройиздат, 1973. – 627 с.